

حل مسئله سینماتیک معکوس در رباتهای افزونه با استفاده از اتوماتاهای یادگیر

سید علیرضا متولیان محمدرضا میبدی سعید شیری

دانشکده مهندسی کامپیوتر و فناوری اطلاعات

دانشگاه صنعتی امیرکبیر

تهران ایران

(motevalian, meybodi, shiry)@ce.aut.ac.ir

شنوند ساختار رباتها و افزایش درجات آزادی آنها و همچنین اعمال محدودیتهای فیزیکی بیشتر برروی فضای کاری ربات و نحوه حرکت آن، استفاده از روش‌های عددی رایج بسیار مشکل و پیچیده می‌شود. رباتهای افزونه² رباتهایی هستند که تعداد درجات آزادی آنها بیشتر از حداقل لازم، برای پوشش فضای کاری آنهاست. مثلاً برای قرار دادن نوک ابزار در یک نقطه معین از یک فضای کاری³ بعدی، ۳ درجه آزادی و برای تعیین جهت آن علاوه بر موقعیت، ۶ درجه آزادی کافی می‌باشد. بنابراین برای مورد اول، رباتهای دارای بیش از ۳ اتصال و برای مورد دوم رباتهای دارای بیش از ۶ اتصال افزونه هستند. این اتصالهای اضافی انعطاف‌پذیری بیشتری را به ربات داده و وجود چندین پاسخ برای سینماتیک معکوس آنها، امکان در نظر گرفتن معیارهای دیگر مانند جلوگیری از برخورد با مواد، میزان تغییر اتصالات و میزان انرژی مصرفی را برای کمینه نمودن هزینه فراهم می‌نماید. اما از سوی دیگر وجود اتصالات زیاد در این رباتها، یافتن پاسخهای سینماتیک معکوس آنها را بسیار مشکل می‌سازد. در حقیقت، مسئله سینماتیک معکوس رباتهای افزونه، در زمرة مسائل بهینه‌سازی پیچیده می‌باشد که یافتن نقطه بهینه آن توسط الگوریتم‌های تکراری و عددی رایج مانند کاهاش گراییان، به علت وجود پاسخهای نامطلوب زیاد - در اثر اعمال قیود و معیارهای متعدد در تعریف مسئله - ممکن نمی‌باشد. به همین منظور، راه حل‌هایی مبتنی بر روش‌های مکائسه‌ای مختلف مطرح گردیده است که مهم‌ترین این روشها شبکه‌های عصبی و الگوریتم‌های ژنتیکی می‌باشند.

اغلب روش‌های مبتنی بر شبکه‌های عصبی از شبکه‌های انتشار خطأ به عقب (BP) و یادگیری با نظارت استفاده کرده‌اند^{[4][5][9][10]}. در دسته اول از این روشها سعی شده است تا با ورود مختصات فضایی تعدادی نقطه به عنوان خروجی‌های مطلوب شبکه، و نیز مقدار متغیرهای

چکیده: هدف از حل مسئله سینماتیک معکوس تعیین مقادیر اتصالات ربات برای قرار دادن نوک ابزار آن در یک نقطه و جهت معین از فضای کاری ربات می‌باشد. جز برای انواع خاصی از رباتها، مسئله سینماتیک معکوس با روش‌های تحلیلی و ریاضی قابل حل نیست و به همین علت روش‌های عددی گوناگونی برای حل آن ارائه شده است. در این مقاله الگوریتمی مبتنی بر اتوماتاهای یادگیر برای حل مسئله سینماتیک معکوس رباتهای افزونه پیشنهاد می‌شود. الگوریتم پیشنهادی دارای دو مرحله می‌باشد. در مرحله اول با استفاده از مجموعه‌ای از اتوماتاهای یادگیر، تقریبی از مقادیر اتصالات ربات برای قرار دادن نوک ابزار آن در یک نقطه و جهت معین از فضای کاری ربات بدست می‌آید و در مرحله دوم با استفاده از مقادیر تقریبی بدست آمده در مرحله اول مقادیر دقیق اتصالات محاسبه می‌شود. نتایج شبیه‌سازی نشان می‌دهد که با انتخاب صحیح پارامترها، این الگوریتم می‌تواند کارایی خوبی داشته و به جوابهای نزدیک به بهینه همگرا گردد. الگوریتم پیشنهادی با یک الگوریتم ژنتیکی که یکی از بهترین الگوریتم‌های گزارش شده برای این منظور است، مقایسه می‌شود.

کلمات کلیدی: اتوماتاهای یادگیر، رباتیک، ربات افزونه، سینماتیک معکوس

۱- مقدمه

مسئله سینماتیک معکوس¹ [2] که عبارتست از تعیین مقادیر اتصالات ربات برای قرار دادن نوک ابزار آن در یک نقطه و جهت معین از فضای کاری ربات، یکی از مهم‌ترین مسائل مطرح در طراحی رباتها می‌باشد. متأسفانه جز برای انواع خاصی از رباتها، مسئله سینماتیک معکوس با روش‌های تحلیلی و ریاضی قابل حل نیست و به همین علت روش‌های عددی گوناگونی برای حل آن ارائه شده است. البته با پیچیده‌تر

² Redundant Robots

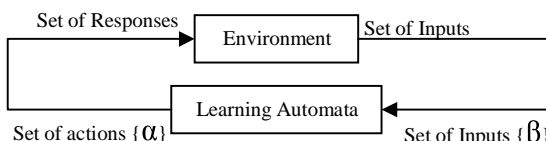
¹ Inverse Kinematics Problem

ادامه گزارش بدین صورت سازماندهی شده است. در بخش ۲ به معرفی اجمالی اتوماتاهای یادگیر می‌پردازیم. بخش ۳ الگوریتم پیشنهادی ارایه می‌گردد. نتایج شبیه سازیها در بخش ۴ آمده است و بخش نهایی نتیجه گیری می‌باشد.

۲- اتوماتاهای یادگیر^۵

یک اتوماتای یادگیر یک مدل انتزاعی است که تعداد محدودی عمل را می‌تواند انجام دهد. هر عمل انتخاب شده توسط محیطی احتمالی ارزیابی می‌گردد و پاسخی به اتوماتای یادگیر داده می‌شود. اتوماتای یادگیر از این پاسخ استفاده نموده و عمل خود را برای مرحله بعد انتخاب می‌کند. اتوماتاهای یادگیر به دو دسته عمده اتوماتای یادگیر با ساختار ثابت و اتوماتای یادگیر با ساختار متغیر تقسیم می‌شوند.

محیط: محیط را می‌توان توسط سه تابع $E \equiv \{\alpha, \beta, c\}$ تعریف نمود که در آن $\{\alpha_r, \alpha_1, \alpha_2, \dots, \alpha_r\} \equiv \alpha$ مجموعه ورودیها، $\{c_1, c_2, \dots, c_r\} \equiv c$ مجموعه خروجیها و $\{\beta_1, \beta_2, \dots, \beta_r\} \equiv \beta$ مجموعه احتمالهای جریمه شدن می‌باشد. هرگاه i دو مقداری باشد، محیط از نوع P می‌باشد. در چنین محیطی $\beta_i = 1$ به عنوان جریمه و $\beta_i = 0$ به عنوان پاداش در نظر گرفته می‌شود. در محیط از نوع Q، $\beta_i(n)$ می‌تواند بطور گستته یکی از مقادیر محدود در فاصله $[0, 1]$ را اختیار کند و در محیط از نوع S $\beta_i(n)$ متغیر تصادفی در فاصله $[0, 1]$ است، یعنی $\beta_i(n) \in [0, 1]$.



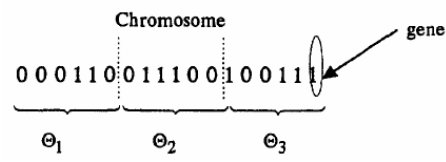
شکل ۲) ارتباط بین اتوماتای یادگیر و محیط

c_i احتمال اینکه عمل α_i نتیجه نامطلوب داشته باشد، می‌باشد. در یک محیط پایدار مقادیر c_i بدون تغییر باقی می‌ماند. حال آنکه در یک محیط ناپایدار این مقادیر در طی زمان تغییر می‌کنند. شکل ۲ ارتباط بین اتوماتای یادگیر و محیط را نشان می‌دهد.

اتوماتای یادگیر با ساختار متغیر؛ اتوماتای یادگیر با ساختار متغیر توسط ۵ تابع $LA \equiv \{\alpha, \beta, p, T, c\}$ که در آن $\alpha \equiv \{\alpha_1, \alpha_2, \dots, \alpha_r\}$ $\beta \equiv \{\beta_1, \beta_2, \dots, \beta_r\}$ مجموعه ورودیها اتومات، $p \equiv \{p_1, p_2, \dots, p_r\}$ بردار احتمال انتخاب عمل،

اتصالات ربات برای قرار دادن نوک ابزار در این نقاط، شبکه بگونه‌ای مورد آموزش قرار بگیرد که خطای آن از حد معینی کمتر باشد^۶. دسته دوم روشاهای مبتنی بر شبکه BP از شبکه‌های BP معکوس^۷ استفاده می‌کند. در این شبکه‌ها، پس از اعمال یک ورودی و محاسبه خطای ایجاد شده در خروجی، براساس خطای بدست آمده علاوه بر وزنها، ورودی نیز بروز رسانی می‌گردد. در این شبکه‌ها، فضای جواب همان فضای ورودیهاست و هدف یادگیری بهترین ورودی می‌باشد. در [10]، از این شبکه‌های معکوس برای یادگیری مقادیر اتصالات استفاده شده است. علاوه بر روشاهای فوق، شبکه‌های هاپفیلد هم به عنوان یک ابزار بهینه‌سازی، برای حل مسئله سینماتیک معکوس بکار رفته‌اند. در [3]، از شبکه هاپفیلد برای تخمین شبکه معکوس^۸ ماتریس ژاکوبین استفاده شده است.

در روشاهای مبتنی بر الگوریتم‌های ژنتیکی، از منظری دیگر با مسئله سینماتیک معکوس برخورد شده است. در این روشها مسئله سینماتیک معکوس بصورت یک مسئله بهینه‌سازی تعریف شده و سپس با یک الگوریتم ژنتیکی پاسخ نزدیک به بهینه برای آن بدست می‌آید[1][7][8]. در این روشها، ابتدا فضای مقادیر هریک از متغیرهای اتصالات به مقادیر گسسته‌ای تبدیل می‌شود. سپس این مقادیر، بصورت باینری درآمده و از کنار هم گذاردن این مقادیر باینری رشتۀ کروموزومهای الگوریتم ژنتیکی بدست می‌آید(شکل ۱).



شکل ۱) یک کروموزوم

در این مقاله الگوریتمی مبتنی بر اتوماتاهای یادگیر برای حل مسئله سینماتیک معکوس رباتهای افزوونه پیشنهاد می‌شود. الگوریتم پیشنهادی دارای دو مرحله می‌باشد. در مرحله اول با استفاده از مجموعه‌ای از اتوماتاهای یادگیر، تقریبی از مقادیر اتصالات ربات برای قرار دادن نوک ابزار آن در یک نقطه و جهت معین از فضای کاری ربات بدست می‌آید و در مرحله دوم با استفاده از مقادیر تقریبی بدست آمده در مرحله اول مقادیر دقیق اتصالات محاسبه می‌شود. نتایج شبیه‌سازی نشان می‌دهد که با انتخاب صحیح پارامترها، این الگوریتم می‌تواند کارایی خوبی داشته و به جوابهای نزدیک به بهینه همگرا گردد. الگوریتم پیشنهادی با یک الگوریتم ژنتیکی که یکی از بهترین الگوریتم‌های گزارش شده برای حل این مسئله است مقایسه می‌شود.

⁵ Learning Automata (LA)

³ Inverted BP Neural Networks

⁴ Pseudo-Inverse

می شود. الگوریتم در مرحله اول از یک مجموعه از اتماتاهای یادگیر استفاده می کند. در این مجموعه، به تعداد اتصالات ربات، اتماتای یادگیر وجود دارد. هر اتماتای یادگیر برای یکی از متغیرهای مربوط به یکی از اتصالها در نظر گرفته شده است و عملهای آن برابر مقادیری است که این متغیر ممکن است اختیار کند. در این الگوریتم، فرض براینست که فضای مقادیر متغیرهای اتصالات، گسته و تعداد مقادیر ممکن برای هر متغیر محدود می باشد. فرض گسته بودن، بخصوص در کنترلهای دیجیتال که اساساً با مقادیر گسته سروکار دارند کاملاً منطقی و مفید است. علاوه بر این، بدون از دست دادن کلیت مسأله، فرض می کنیم اتصالهای ربات همگی چرخشی^۶ می باشند.

عملکرد مرحله اول الگوریتم بدین شرح است: در ابتدا با استفاده ازتابع سینماتیک مستقیم، ربات محل حاری نوک ابزار را بدست آورده و فاصله اقلیدسی آن تا نقطه مقصد (نقطه‌ای که می خواهیم نوک ابزار در آنجا قرار بگیرد) را محاسبه می کند. با نرمال‌سازی این فاصله (تبديل مقیاس به محدوده [۰,۱])، یک سیگنال امتیازدهی محاسبه و به تمامی LAها داده می شود. هر اتماتای یادگیر با استفاده از این سیگنال، بردار احتمال عمل خود را بروز نموده و سپس عمل دیگری (براساس بردار احتمال عمل) را انتخاب می نماید. این عمل بروزرسانی، انتخاب عمل و تعیین امتیاز آنقدر تکرار می شود تا فاصله میان نوک ابزار و نقطه مقصد از یک حد آستانه از پیش تعیین شده کمتر گشته و با تعداد تکرارها از حد معینی فراتر رود که در این صورت مرحله اول الگوریتم همگرا نشده است. ممکن است در نظر اول این الگوریتم کامل بنظر برسد و انتظار داشته باشیم به علت این طراحی خاص سیگنال امتیازدهی- بگونه‌ای که هرچه نوک ابزار به نقطه مقصد نزدیک‌تر باشد پاداش بیشتری (سیگنال نزدیک‌تر به صفر) داده شود- اتماتاهای یادگیر سعی خواهند نمود این فاصله را به حداقل رسانند (پاداش مجموع را بیشینه کنند). اما باید توجه داشت که در این الگوریتم، تعداد عملهای LAها می تواند بسیار زیاد (با فرض قابلیت چرخش ۳۶۰ درجه اتصالات و دقت ۰.۱mm) تا ۳۶۱۰ باشد و زیاد بودن تعداد عملهای این اثراً مانع از رسیدن به پاسخ بهینه سراسری گشته و همگرایی الگوریتم را بسیار ضعیف می کند. دو مرحله‌ای بودن الگوریتم برای رفع همین مشکل بوده است. در مرحله اول، ابتدا دقت^۷ فضای مقادیر اتصالات و حداستانه الگوریتم را تا حدی کاهش می دهیم، این امر منجر به کاهش تعداد عملهای LAها تا حد مناسبی می شود. مثلًا بجای در نظر گرفتن دقت ۰/۱ درجه، دقت را تا ۱۰ درجه کاهش می دهیم که در این صورت تعداد عملهای هر LA حداقل ۳۷

$T \equiv p(n+1) = T[\alpha(n), \beta(n), p(n)]$
 $c \equiv \{c_1, c_2, \dots, c_r\}$ مجموعه احتمالهای جریمه شدن می باشند. هرگاه β مجموعه دو عضوی باشد، محیط از نوع P می باشد. در چنین محیطی $\beta_1 = 0$ به عنوان پاداش و $\beta_2 = 1$ به عنوان جریمه در نظر گرفته می شود. در محیط از نوع Q، $\beta(n)$ می تواند به طور گسته یک مقدار از مقادیر محدود در فاصله [۰,۱] و در محیط از نوع S $\beta(n)$ متغیر تصادفی در فاصله [۰,۱] است. در این نوع از اتماتاهای، اگر عمل α در مرحله n انتخاب شود و پاسخ مطلوب از محیط دریافت نماید، احتمال $p_i(n)$ افزایش و سایر احتمالها کاهش می یابند. برای پاسخ نامطلوب $p_i(n)$ کاهش و سایر احتمالها افزایش می یابند. در هر حال، تغییرات بگونه‌ای صورت می پذیرد که حاصل جمع (p_i) ها همواره ثابت و مساوی یک باقی بماند. الگوریتم زیر یک نمونه از الگوریتم‌های یادگیری خطی در محیط نوع P می باشد:

الف- پاسخ مطلوب:

$$p_i(n+1) = p_i(n) + a[1 - p_i(n)]$$

$$p_j(n+1) = (1-a)p_j(n) \quad \forall j, j \neq i$$

ب- پاسخ نامطلوب:

$$p_i(n+1) = (1-b)p_i(n)$$

$$p_j(n+1) = \frac{b}{r-1} + (1-b)p_j(n) \quad \forall j, j \neq i$$

در روابط فوق، a پارامتر پاداش و b پارامتر جریمه می باشد. با توجه به مقادیر a و b سه حالت را می توان در نظر گرفت. اگر a و b با هم برابر باشند، الگوریتم را L_{RP} ، چنانچه b از a خیلی کوچکتر باشد، الگوریتم را L_{REP} و اگر b صفر باشد، الگوریتم را L_{RI} می گویند. الگوریتم یادگیری فوق را می توان به محیط نوع S که در آن پاسخ محیط، $\beta(n)$ ، مقداری پیوسته است، تعیین داد. الگوریتم یادگیری زیر لگوریتم یادگیری L_{RI} در محیط S می باشد:

$$p_i(n+1) = p_i(n) - a(1 - \beta(n))p_i(n) \quad \alpha(n) \neq \alpha_i$$

$$p_i(n+1) = p_i(n) + a(1 - \beta(n)) \sum_{j \neq i} p_j(n) \quad \alpha(n) = \alpha_i$$

برای اطلاعات بیشتر درباره اتماتاهای یادگیر می توان به [6] مراجعه کرد.

۳- الگوریتم پیشنهادی

الگوریتم پیشنهادی دارای دو مرحله می باشد. در مرحله اول تقریبی از مقادیر اتصالات ربات برای قرار دادن نوک ابزار آن در یک نقطه و جهت معین از فضای کاری ربات بدست می آید. در مرحله دوم با استفاده از مقادیر تقریبی بدست آمده از مرحله اول مقادیر دقیق اتصالات محاسبه

⁶ Revolute

⁷ Precision

خواهد بود. سپس الگوریتم اشاره شده در بالا را با این حدآستانه و دقت اجرا کرده و در طول اجرا بهترین جواب بدست آمده را ذخیره می‌کنیم. در مرحله دوم، از یک مجموعه انواماتای یادگیر دیگر استفاده کرده و سعی می‌کنیم فاصله نوک ابزار بدست آمده در مرحله اول را تا نقطه مقصد کاهش دهیم. در این مرحله، برخلاف مرحله اول، عملهای LA ها برابر مقادیر متغیرهای اتصالات نمی‌باشد. بلکه هر عمل معادل یک تغییر مقدار برای متغیر اتصال مربوطه نسبت به مقدار بدست آمده در مرحله اول می‌باشد. تعداد عملهای هر LA در اینجا برابر است با دقت در نظر گرفته شده در مرحله اول، تقسیم بر دقت نهایی مورد نظر، به عنوان نمونه برای مثال فوق، تعداد عملها ۱۰۰ خواهد بود. در حقیقت، در مرحله دوم، سعی می‌کنیم با ایجاد یک تغییر مکان در نوک ابزار - نسبت به مکان بدست آمده در مرحله اول - به نقطه مقصد نزدیکتر شویم. در ادامه به شرح دقیق‌تر مراحل اول و دوم الگوریتم پیشنهادی می‌پردازم.

```

For Each LA  $A_i$  in the set of Learning Automata do in Parallel
   $r_i = \text{ceiling}(\frac{\text{precision}}{0.1})$ 
End For
  RandomInit( $\Delta\Theta$ )
   $\Delta\Theta_{best} = \Delta\Theta$ 
   $tooltip = f(\Theta_{best} + \Delta\Theta)$  //Forward Kinematics Function.
   $curDist = \text{Distance}(tooltip, destination)$ 
   $minDist = curDist$ 
   $n = 1$ 
  While ( $n <= \text{MaxIteration}$  And  $curDist > \tau_2$ )
    For Each LA  $A_i$  in OSCLA do in Parallel
      Choose Action  $\Delta\theta(n)$  according to  $p_i(n)$ 
    End For
     $tooltip = f(\Theta_{best} + \Delta\Theta)$ 
     $curDist = \text{Distance}(tooltip, destination)$ 
    If  $curDist < minDist$  Then
       $\Delta\Theta_{best} = \Delta\Theta$ 
    End If
     $\beta(n) = \min(1, \frac{\text{curDistance}}{k \times \text{totalLength}})$ 
    For Each LA  $A_i$  in the set of Learning Automata do in Parallel
       $p_{i\theta_i(n)}(n) = p_{i\theta_i(n)}(n) + a(1 - \beta(n))(1 - p_{i\theta_i(n)}(n))$ 
    For Each  $j \neq \theta_i(n)$  in  $\alpha_i$  do in Parallel
       $p_{ij}(n) = p_{ij}(n) - a(1 - \beta(n))p_{ij}(n)$ 
    End For
    End For
  End While
Output  $\Theta_{best} + \Delta\Theta_{best}$  as the final Result

```

شکل ۴) شبیه کد مرحله دوم الگوریتم پیشنهادی

مرحله دوم الگوریتم همانند مرحله اول الگوریتم از m اوتوماتای یادگیر استفاده می‌کند با این تفاوت که مقادیر انتخاب شده توسط LA ها بیانگر تغییرات مقادیر متغیرها نسبت به مقادیر بدست آمده در مرحله اول (Θ_{best}) هستند. شکل ۴ شبیه کد این مرحله را نشان می‌دهد. در این

خواهد بود. سپس الگوریتم اشاره شده در بالا را با این حدآستانه و دقت اجرا کرده و در طول اجرا بهترین جواب بدست آمده را ذخیره می‌کنیم. در مرحله دوم، از یک مجموعه انواماتای یادگیر دیگر استفاده کرده و سعی می‌کنیم فاصله نوک ابزار بدست آمده در مرحله اول را تا نقطه مقصد کاهش دهیم. در این مرحله، برخلاف مرحله اول، عملهای LA ها برابر مقادیر متغیرهای اتصالات نمی‌باشد. بلکه هر عمل معادل یک تغییر مقدار برای متغیر اتصال مربوطه نسبت به مقدار بدست آمده در مرحله اول می‌باشد. تعداد عملهای هر LA در اینجا برابر است با دقت در نظر گرفته شده در مرحله اول، تقسیم بر دقت نهایی مورد نظر، به عنوان نمونه برای مثال فوق، تعداد عملها ۱۰۰ خواهد بود. در حقیقت، در مرحله دوم، سعی می‌کنیم با ایجاد یک تغییر مکان در نوک ابزار - نسبت به مکان بدست آمده در مرحله اول - به نقطه مقصد نزدیکتر شویم. در ادامه به شرح دقیق‌تر مراحل اول و دوم الگوریتم پیشنهادی می‌پردازم.

```

For Each LA  $A_i$  in the set of Learning Automata do in Parallel
   $r_i = \text{ceiling}(\frac{U_i - L_i}{precision})$ 
End For
RandomInit( $\Theta$ )
 $\Theta_{best} = \Theta$ 
 $tooltip = f(\Theta)$  //Forward Kinematics Function.
 $curDist = \text{Distance}(tooltip, destination)$ 
 $minDist = curDist$ 
 $n = 1$ 
While ( $n <= \text{MaxIteration}$  And  $curDist > \tau_1$ )
  For Each LA  $A_i$  in the set of Learning Automata do in Parallel
    Choose Action  $\theta(n)$  according to  $p_i(n)$ 
  End For
   $tooltip = f(\Theta)$ 
   $curDist = \text{Distance}(tooltip, destination)$ 
  If  $curDist < minDist$  Then
     $\Theta_{best} = \Theta$ 
  End If
   $\beta(n) = \frac{curDist}{totalRobotLength + Dis \tan ce(destination, [000]^T)}$ 
  For Each LA  $A_i$  in the set of Learning Automata do in Parallel
     $p_{i\theta_i(n)}(n) = p_{i\theta_i(n)}(n) + a(1 - \beta(n))(1 - p_{i\theta_i(n)}(n))$ 
  For Each  $j$  in  $\alpha_i$  do in Parallel
     $p_{ij}(n) = p_{ij}(n) - a(1 - \beta(n))p_{ij}(n)$ 
  End For
  End For
End While

```

شکل ۳) شبیه کد مرحله اول الگوریتم پیشنهادی

فرض کنید m تعداد اتصالهای ربات، $\Theta = \{\theta_1, \dots, \theta_m\}$ مجموعه متغیرهای اتصالات، r_i تعداد مقادیر ممکن برای اتصال i ام و L_i و U_i مجموعه مقادیر ممکن و $\alpha_i = \{\alpha_{ij(i)} \mid j(i) = 1, \dots, r_i\}$ بترتیب حدود پایین و بالای محدوده مقادیر ممکن برای متغیر i ($i = 1, \dots, m$) باشند. در این صورت مجموعه اوتوماتاهای یادگیر

شده است. در این گزارش، برای بررسی کارایی الگوریتم از داده‌های آزمایشی جدول ۱ استفاده شده است [۸].

جدول ۱) داده‌های آزمایشی

نقطه ۲	نقطه ۱	نقاط مقصد (mm)
-۲۵/۴	۶۸۵/۸	X
۳۵۵/۶	۱۵۲/۴	Y
۶۳۵/۰	۶۶۰/۴	Z

جدول ۲ نتیجه اجرای الگوریتم را بر روی داده‌های آزمایشی به ازاء مقادیر مختلف پارامتر دقت (precision) نشان می‌دهد. هر یک از مقادیر گزارش شده در این جدول متوسط خطای ۲۰ اجرای الگوریتم به ازاء مقدار معینی از پارامتر دقت می‌باشد. همانطور که در این جدول نشان داده شده است کمترین خطای برای نمونه به ازاء دقت ۴ بدست آمده است و همچنین میانگین خطای برای نمونه دوم نیز به ازاء همین مقدار دقت، کمینه می‌باشد. با مشاهده نمودارهای ۱ و ۲ که تغییرات خطای را نسبت به تغییرات پارامتر دقت نشان می‌دهد می‌توان گفت، برای مسئله در نظر گرفته شده، مقدار مطلوب برای پارامتر دقت ۴ می‌باشد. آنچه که از مشاهده نتایج در جدول ۲ می‌توان نتیجه گرفت این است که با کاهش زیاد دقت، جوابهای بدست آمده در مرحله اول آنقدر از نقطه مقصد دور می‌شوند که مرحله دوم الگوریتم نمی‌تواند کمکی به یافتن پاسخهای قابل قبول بنماید و خطای بالایی ایجاد می‌شود. از سوی دیگر با بالا بردن بیش از حد دقت، فضای جستجوی بسیار بزرگ می‌شود و مرحله اول الگوریتم در کمینه‌های محلی گیر می‌افتد و پاسخ بدست آمده آنقدر دور از مقصد خواهد بود که مرحله دوم الگوریتم قادر به یافتن جواب مطلوب نمی‌باشد. اما با تنظیم مناسب پارامتر دقت، الگوریتم در مرحله اول به نزدیکی مقصد رسیده و در مرحله دوم نیز بخوبی فاصله باقیمانده را کاهش می‌دهد.

جدول ۲) متوسط و کمترین خطای بدست آمده بر حسب میلیمتر برای دو نقطه نمونه به ازاء مقادیر مختلف دقت

دقت الگوریتم											
۱۰	۹	۸	۷	۶	۵	۴	۳	۲	۱	نمونه ۱	مرحله ۱
۴/۸	۱۶/۱	۲۳/۲	۴/۳	۱۲/۹	۹/۹	۳۸/۲	۱۰/۶	۱۰/۳	۸/۵۱	کمترین خطای	
۱۰/۳	۲۲/۹	۲۶/۸	۲۰/۰	۲۰/۶	۲۴/۸	۴۲/۹	۲۷/۰	۲۱/۱	۲۰/۳	متوسط خطای	
۴/۸	۱۰/۸	۱۰/۸	۴/۳	۱۱/۲	۹/۹	۴/۱	۳/۲	۲/۳	۶/۰	کمترین خطای	نمونه ۱
۹/۸	۱۹/۰	۲۰/۷	۱۷/۰	۱۸/۰	۱۷/۴	۱۱/۳	۱۲/۷	۸/۸	۱۸/۲	متوسط خطای	مرحله ۲
۲۰/۳	۱۴/۰	۲۶/۲	۱۳/۰	۶/۶	۷/۸	۵/۶	۱۰/۲	۱۷/۴	۱۲/۵	کمترین خطای	نمونه ۲
۲۸/۶	۲۲/۵	۳۴/۰	۲۴/۱	۲۵/۰	۲۳/۰	۹/۵	۲۶/۰	۲۴/۲	۲۲/۸	متوسط خطای	مرحله ۱
۱۴/۶	۴/۵	۸/۵	۴/۸	۶/۶	۵/۸	۲/۷	۶/۸	۴/۶	۶/۶	کمترین خطای	نمونه ۲
۲۵/۹	۲۰/۳	۲۰/۴	۱۵/۷	۱۶/۱	۱۵/۳	۸/۶	۱۳/۷	۹/۳	۱۸/۵	متوسط خطای	مرحله ۲

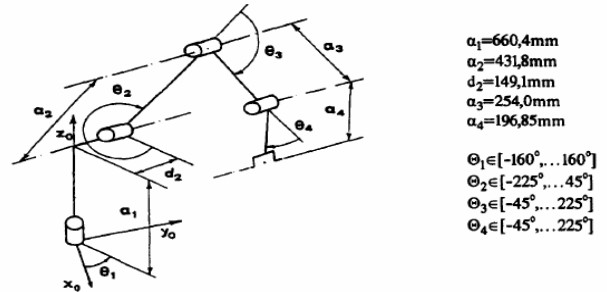
$$\beta(n) = \min(1, \frac{curDist}{k * totalRobotLength})$$

بدست آمده است که در آن k پارامتری است که با آزمون و خطای بگونه‌ای تعیین می‌شود که مقادیر $\frac{curDist}{k * totalRobotLength}$ به ازاء

مختلف تقریباً بطور یکنواختی در محدوده $[0, 1]$ توزیع شوند.

۴- نتایج شبیه‌سازی

در این بخش به بررسی نتایج بدست آمده از اجرای الگوریتم بر روی یک ربات نمونه که در [۸] گزارش شده است می‌پردازیم. این ربات که در شکل ۵ نشان داده شده است دارای ۴ اتصال چرخشی می‌باشد. چون برای قرار دادن نوک ابزار در هر نقطه دلخواهی از فضا (بدون در نظر گرفتن جهت آن) فقط به ۳ اتصال چرخشی نیاز می‌باشد، این ربات یک ربات افزونه است. پارامترهای سینماتیکی (غیر صفر) این ربات و نیز محدوده مقادیر ممکن برای هر متغیر اتصال در شکل ۵ مشخص شده‌اند.



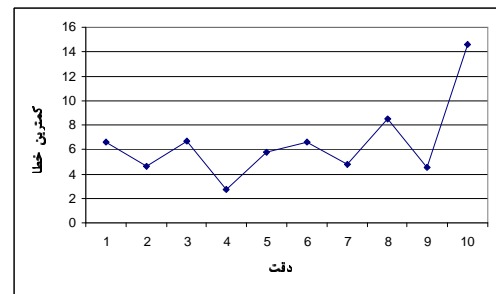
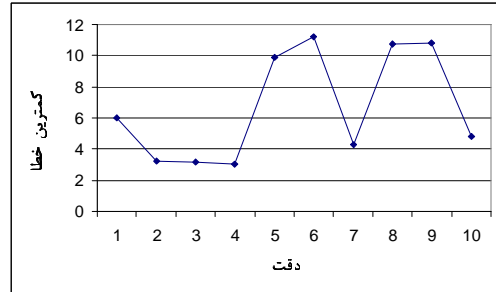
شکل ۵) ربات افزونه نمونه با ۴ اتصال چرخشی

در شبیه‌سازیهای انجام گرفته، از اتمانات‌های یادگیر S-L_{RI} با نرخ یادگیری 0.1 استفاده شده است. علاوه براین، مقادیر آستانه مراحل اول و دوم الگوریتم بترتیب $\tau_1 = 10mm$ و $\tau_2 = 3mm$ در نظر گرفته

دارای دو مرحله می‌باشد. در مرحله اول با استفاده از مجموعه‌ای از اتوماتاهای یادگیر تقریبی از مقادیر اتصالات ربات بدست می‌آید و در مرحله دوم با استفاده از این مقادیر تقریبی، مقادیر دقیق اتصالات محاسبه می‌شود. نتایج شبیه‌سازی‌ها نشان می‌دهد که با انتخاب صحیح پارامتر دقت، این الگوریتم می‌تواند کارایی خوبی داشته و به جوابهای نزدیک به بهینه همگرا گردد. یکی از مشکلات الگوریتم پیشنهادی پیدا کردن مقدار مطلوب پارامتر دقت از طریق آزمایش و خطای می‌باشد. امکان تنظیم خودکار پارامتر دقت توسط روش‌های هوشمند (مانند اتوماتاهای یادگیر) و همچنین امکان استفاده از دقت‌های متفاوت برای اتصالاتی متفاوت تحت مطالعه و بررسی می‌باشد.

۷- مراجع

- [1] K. A. Buckley, S. H. Hopkins, B. C. H. Turton; "Solution of Inverse Kinematics Problems of a Highly Kinematically Redundant Manipulator using Genetic Algorithms"; *Genetic Algorithms in Engineering Systems: Innovations and Applications*, p.p. 264-269, 1997.
- [2] J. J. Craig; "Introduction to Robotics: Mechanics and Control"; 2nd Edition, Addison-Wesley, 1989.
- [3] J. Guo, V. Cherkassky; "A Solution to the Inverse Kinematic Problem in Robotics using Neural Network Processing"; *Proceeding of IEEE International joint Conference on Neural Networks*, vol 2, p.p. 299-304, 1989.
- [4] R. Koker, C. Oz, T. Cakar, H. Ekiz; "A Study of Neural Network based Inverse Kinematics Solution for a three-joint Robot"; *Robotics and Autonomous Systems*, vol 49, Issues 3-4, p.p. 227-234, 2004.
- [5] Y. Kuroe, Y. Nakai, T. Mori; " A New Neural Network Learning of Inverse Kinematics of Robot Manipulator"; *International Conference on Neural Networks*, vol V, p.p. 2715-2720, Orlando, Florida, 1994.
- [6] K. S. Narendra, M. A. L. Thathachar; "Learning automata: an introduction"; Prentice-Hall, Englewood Cliffs, 1989.
- [7] A. C. Nearchou; "Solving the Inverse Kinematics Problem of Redundant Robots operating in Complex Environments Via a Modified Genetic Algorithm"; 1997.
- [8] J. Parker, A. Khoogar, D. Goldberg; "Inverse Kinematics of Redundant Robots using Genetic Algorithms"; *Proceeding of IEEE International Conference on Robotics and Automation*, p 271, 1989.
- [9] F. Pourboghrat; "Neural Networks for Learning Inverse-Kinematics of Redundant Manipulators"; 1990.
- [10] S. Tejomurtula, S. Kak; "Inverse Kinematics in Robotics using Neural Networks"; *Information Sciences*, 116, p.p. 147-164, 1990.



نمودار ۱) تغییرات خطای کمینه نسبت به تغییرات پارامتر دقت برای نقاط نمونه آزمایشی ۱(نمودار بالا) و ۲(نمودار پایین)

در جدول ۳ نتایج الگوریتم پیشنهادی با نتایج الگوریتم ژنتیکی گزارش شده در [8] مقایسه شده است. همانطور که در جدول آمده است الگوریتم پیشنهادی مقادیر کمینه بهتری در مقایسه با الگوریتم ژنتیکی پیدا می‌کند. برای نمونه دوم آزمایشی الگوریتم پیشنهادی خطای تقریباً نزدیک به خطای الگوریتم ژنتیکی تولید می‌کند(حدود ۰/۵ میلیمتر) اما برای نمونه اول آزمایشی خطای برای الگوریتم پیشنهادی بسیار کمتر از مقدار خطای برای الگوریتم ژنتیکی می‌باشد(حدود ۳/۶ میلیمتر) ولی در عوض، متوسط خطای برای الگوریتم ژنتیکی کمتر است.

جدول ۳) مقایسه نتایج با الگوریتم ژنتیکی [8]

الگوریتم ژنتیکی	الگوریتم پیشنهادی		
6.7	3.1	کمترین خطای (mm)	نمونه ۱
7.1	11.3	متوسط خطای (mm)	
2.2	2.7	کمترین خطای (mm)	نمونه ۲
4.6	8.6	متوسط خطای (mm)	

۵- نتیجه گیری

در این مقاله یک الگوریتم مبتنی بر اتوماتاهای یادگیر برای حل مسئله سینماتیک معکوس رباتهای افزونه ارائه شد. الگوریتم پیشنهادی